

文章编号: 1000-324X(2016)03-0269-05

DOI: 10.15541/jim20150467

AgX(Cl, Br)-TiO₂复合材料光电化学研究

张亚萍¹, 张安玉¹, 于濂清¹, 董开拓¹, 李焰², 郝兰众¹

(中国石油大学(华东) 1. 理学院, 新能源物理与材料科学重点实验室; 2. 机电学院, 青岛 266580)

摘要: 以阳极氧化法制备的高度有序 TiO₂纳米管阵列作为基底, 用沉积法在 TiO₂纳米管上复合 AgCl 和 AgBr 纳米颗粒形成 AgX-TiO₂异质结。采用 XRD、FESEM 等分析结果表征, 结果表明: AgCl 以厚度为 50 nm、长度为 1 μm 的片状结构堆叠分布, AgBr 的沉积过程较温和, 沉积速度相对更慢, 均匀分散在 TiO₂纳米管表面; 随着沉积次数增加, 纳米管阵列表面形貌发生改变。光电化学研究表明: 样品经过复合 AgBr 后, 可以有效提高 TiO₂纳米管阵列的光电转化效率, 当 AgBr 沉积 1 次时, 其光电转化效率达到 2.67%, 而复合的 AgCl 对于 TiO₂纳米管阵列的光电效率改善效果欠佳。

关键词: 阳极氧化法; 二氧化钛纳米管; 卤化银; 光电化学

中图分类号: TG146 文献标识码: A

Photoelectrochemical Properties of AgX(Cl, Br)-TiO₂ Heterojunction Nanocomposites

ZHANG Ya-Ping¹, ZHANG An-Yu¹, YU Lian-Qing¹, DONG Kai-Tuo¹, LI Yan², HAO Lan-Zhong¹

(1. College of Science, China University of Petroleum, Qingdao 266580, China; 2. College of Mechanics, China University of Petroleum, Qingdao 266580, China)

Abstract: Sunlight-driven photoelectrochemical water splitting into hydrogen and oxygen presents a great way to develop green solar energy. Titanium dioxide is believed to be one of the most stable photoanode materials. Here, ordered TiO₂ nanotube arrays were prepared by anodic oxidation method. Then AgCl or AgBr were successfully deposited on TiO₂ nanotube arrays by dipping method. The morphology and crystal structures of AgX-TiO₂ heterojunctions were tested by X-ray diffraction (XRD) and field emission scanning electron microscopy (FESEM). The results showed that AgCl was deposited with 50 nm thickness and 1 μm length structure, while AgBr can be evenly dispersed on surface of TiO₂ nanotube arrays. AgX amount increased with extending impregnation recycling time, and formed different surface morphology of nanotube arrays. Electrochemical test indicated that suitable amount of AgBr in the TiO₂ nanotube arrays improved the photoelectrochemical properties, an optimum photoconversion efficiency obtained at 2.67%. Excess deposited AgX will lead to incompletely utilizing sunlight due to blocked nanotube arrays, and result in lower photoconversion efficiency.

Key words: anodic oxidation method; nanotube; TiO₂; photoelectrochemical properties

随着化石燃料的开发和利用, 人们生活水平得到了极大提高的同时, 也产生了一系列环境问题,

因此清洁能源的开发和利用已经成为研究热点。相关研究涉及到 TiO₂、CdS、Fe₂O₃、WO₃、ZnO 和

收稿日期: 2015-09-28; 收到修改稿日期: 2015-12-08

基金项目: 国家自然科学基金(21476262); 青岛市科技发展计划(14-2-4-108-jch); 中央高校基本科研业务经费(R1510059A, 14CX05038A)

National Natural Science Foundation of China (21476262); Technology Project of Qingdao (14-2-4-108-jch); Fundamental Research Funds for the Central Universities (R1510059A, 14CX05038A)

作者简介: 于濂清(1979-), 男, 博士, 副教授. E-mail: iyy2000@163.com

SnO_2 等诸多光敏性材料^[1]。其中, TiO_2 是一种稳定的光敏性半导体材料, 自 1972 年首次被 Fujishima 等^[2]用来催化光解水制氢气以来, TiO_2 以其无毒害、无污染和成本低廉等特点受到广泛关注^[3-4], 尤其在光催化有机物降解、光解水制氢气、太阳能电池等领域得到了广泛研究^[5-11]。

TiO_2 是一种宽禁带型($E_g=3.2\text{ eV}$)半导体, 只有吸收紫外光($\lambda < 387\text{ nm}$)才能激发, 并且光生电子空穴对极易复合, 使得 TiO_2 对光的利用率较低^[12-16]。纳米管状 TiO_2 具有更大的比表面积, 与其它形貌的 TiO_2 相比具有更好的光转化性能。有关研究表明, 在 TiO_2 中复合的 Ag 离子能够将光吸收范围扩展到可见光区^[17-18], 如: AgCl ($E_g=2.98\text{ eV}$)^[19]、 AgBr ($E_g=2.6\text{ eV}$)^[20-24]都是较好的光敏材料。当它们复合 TiO_2 纳米颗粒后光生电子向 TiO_2 转移, 可提高 TiO_2 的可见光敏感性, 也可防止 AgCl 、 AgBr 的光分解^[19-24], 实现对可见光的吸收。本工作重点将复合卤化银与 TiO_2 纳米管阵列块体材料, 研究组成异质结纳米材料的光电化学性能。

1 实验方法

1.1 TiO_2 纳米管阵列制备

首先用 240#、360#、600#砂纸对钛片进行打磨, 去除氧化层及表面杂质, 然后将打磨好的钛片裁剪成 $1\text{ cm} \times 2\text{ cm}$ 大小, 放在盛有丙酮、无水乙醇容器中各超声清洗 15 min。以浓度为 0.5wt%的氟化铵(NH_4F)溶液作为电解液, 预处理好的 Ti 片做阳极, 连接稳压电源正极, 以石墨做阴极。Ti 片浸入电解液的有效面积为 $1\text{ cm} \times 1\text{ cm}$, 直流稳压电源调至电压值为 20 V, 反应时间 1 h, 取出样品, 用去离子水冲洗干净。将晾干后的样品放在管式炉中煅烧, 管式炉升温速度为 $5^\circ\text{C}/\text{min}$, 在 450°C 下保温 2 h, 得到 TiO_2 纳米管样品。

1.2 AgX-TiO_2 异质结制备

将热处理后的 TiO_2 纳米管浸入 0.1 mol/L AgNO_3 溶液中 3 min, 使 Ag^+ 扩散到 TiO_2 纳米管阵列内部; 用去离子水将样品表面 AgNO_3 冲洗干净后, 浸入 0.5 mol/L NaCl 溶液中 3 min, 使 Cl^- 扩散到 TiO_2 纳米管阵列内部; 取出样品, 并用去离子水冲洗干净, 上述操作过程为一次沉积。如此循环, 沉积次数分别控制为 1、3、5、7、9 次。 AgBr-TiO_2 复合纳米材料的制备操作流程同上。

1.3 AgX-TiO_2 异质结复合纳米材料的表征

采用 X 射线衍射仪(XRD)分析晶体结构, 型号为 DX-

2700, 辽宁丹东; 采用场发射扫描电子显微镜(FESEM)及能谱分析样品的形貌及成分, 型号为 S4800。采用电化学工作站(上海华辰 760E)的三电极系统测量样品的光电化学性能, 工作电极、辅助电极、参比电极分别由待测样品(样品的有效面积为 $1\text{ cm} \times 1\text{ cm}$)、Pt 网和饱和 Ag/AgCl 溶液参比电极组成。所用电解液为 1 mol/L 的 NaOH 溶液; 光源为 350 W 的氘灯, 样品处有效光密度为 30 mW/cm^2 。测试内容主要包括: 光电流-时间曲线($I-t$)曲线, 线性扫描伏安法测 $I-V$ 曲线, 光电压-时间($U-t$)曲线以及 Mott-Schottky 曲线。

光转化率 η 可通过以下公式来计算^[25-26]:

$$\eta (\%) = (\text{总输出能量} - \text{电能输入}) / \text{输入光能量} \times 100\% \\ = j_p (E_{0\text{rev}} - |E_{app}|) / I_0 \times 100\%$$

式中: j_p 为光电流密度(mA/cm^2); $j_p E_{0\text{rev}}$ 为总输出能量; $j_p |E_{app}|$ 为输入电能; I_0 为入射光能量密度(mW/cm^2); $E_{0\text{rev}}$ 为标准可逆电势, 为 1.23 V/NHE 。其中实际电位 $E_{app} = E_{meas} - E_{aoc}$, E_{meas} 为工作电极在辐照下测得光电流时的电极电位(vs Ag/AgCl), E_{aoc} 为同样的工作电极在同样辐照并在开路条件下的电极电位(vs Ag/AgCl)。

电荷载流子密度 N_D 的计算公式^[27]:

$$N_D = 2/e\epsilon\epsilon_0 m$$

式中 e 为单位电荷, 其值为 $1.602 \times 10^{-19}\text{ C}$, ϵ_0 为真空中的介电常数, 其值为 $8.854 \times 10^{-14}\text{ F/cm}$, m 为 Mott-Schottky 曲线线性部分的斜率, ϵ 为样品的介电常数, 其值为 80。

2 结果与讨论

2.1 AgCl-TiO_2 异质结光电化学性能分析

图 1(a)是 AgCl-TiO_2 异质结复合纳米材料的 XRD 图谱, 图中出现了锐钛矿型 TiO_2 晶体(101)晶面特征峰。随着循环沉积次数的增加, 样品的 XRD 图谱无明显变化, 均没有出现 AgCl 或 Ag 晶体颗粒的特征衍射峰, 这可能是由于添加量较少或结晶不完善所致。图 1(b)是纯 TiO_2 纳米管的 SEM 形貌, 复合 AgBr 沉积 1 次后通过 EDS 检测到 AgBr 的存在, 继续沉积经过 3 次时, 样品表面形貌变化不大, 仅出现部分团聚物, 尺寸在 100 nm 左右, 如图 1(c, d)。当复合 AgCl 沉积 1 次时, 样品表面形貌发生明显改变, 可以看到一些 $2\text{ }\mu\text{m}$ 左右大晶粒和长度在 $1\text{ }\mu\text{m}$ 、厚度 50 nm 的片状结构堆叠分布; 沉积 5 次时, 样品表面生成面积更大的纳米片状结构, TiO_2 纳米管的表面几乎被 AgCl 覆盖, 如图 1(e, f)。因此, AgCl-TiO_2 的复合结构, 不利于对光的吸收利用。

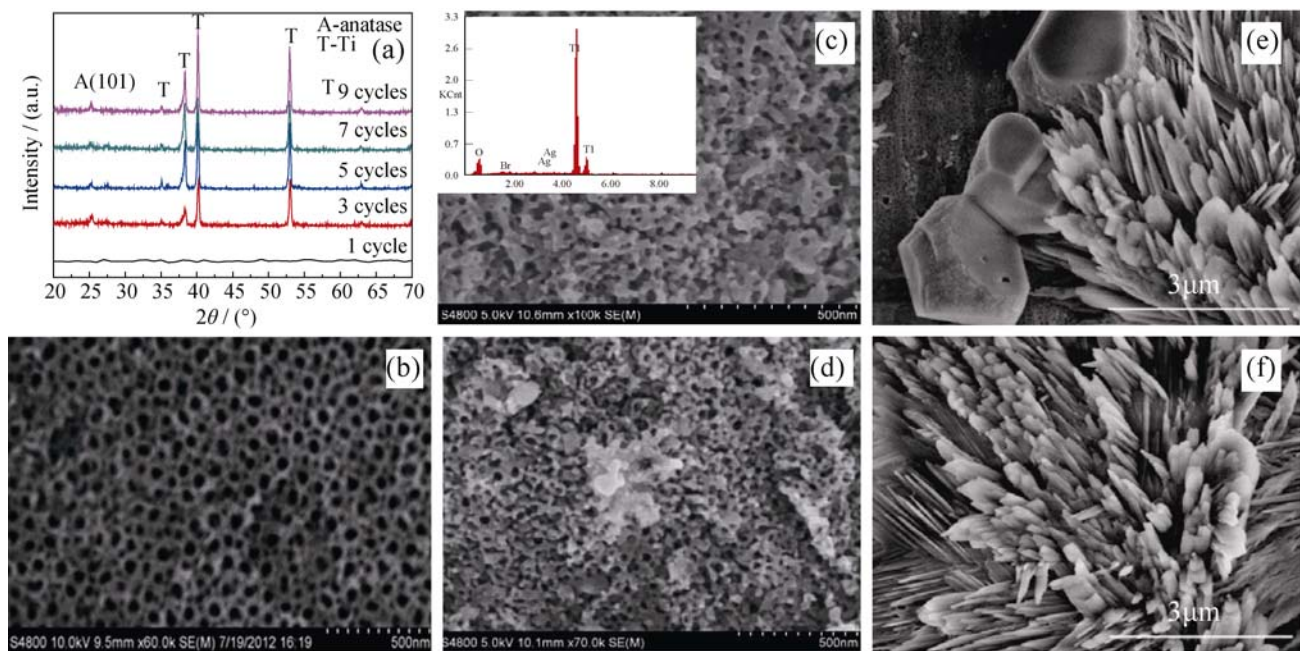
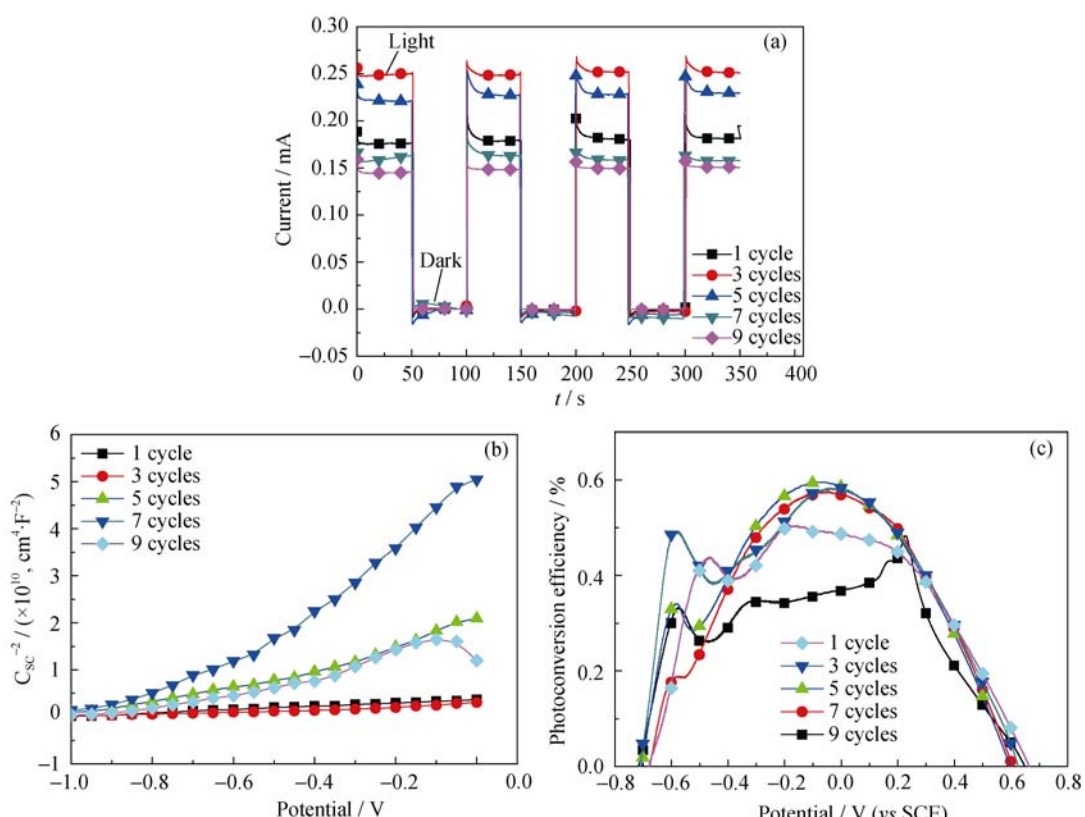
图1 沉积AgX对TiO₂复合材料的影响Fig. 1 AgX deposited on TiO₂ nanotubes(a) XRD patterns (a) and SEM images of (b) pure TiO₂, (c) AgBr after 1 cycle (d) AgBr after 3 cycles, (e) AgCl after 1 cycle and (f) AgCl after 5 cycles

图2(a)为AgCl-TiO₂复合纳米材料的I-t曲线。光照条件在光照和黑暗之间转变时,较快地达到稳定状态。从图中不同样品光电流大小的变化可以确

定复合AgCl对TiO₂的光电性能起到了促进作用。沉积3次的样品光电流最大,表明此条件下样品的光生电子-空穴对产生或转移速率最快。随着AgCl

图2 AgCl-TiO₂异质结复合纳米材料的I-t曲线(a)Fig. 2 I-t (a), Mott-schottky (b) and photoconversion rate (c) curves of AgCl-TiO₂ composites

沉积循环次数增加，光电流呈现先增加后减小的趋势。当沉积量较大时， AgCl 颗粒会将 TiO_2 纳米管阵列堵塞，使得光线无法照射到 TiO_2 纳米管内，从而降低样品对光的利用率，降低光电化学性能，见表1。图2(b)为 $\text{AgCl}-\text{TiO}_2$ 复合纳米材料的Mott-schottky曲线，其中沉积3次的样品的斜率最小，说明光照稳定状态时样品的载流子浓度更大。载流子浓度直接反映出对可见光的吸收效率，说明该样品对可见光的吸收效率更大。 $\text{AgCl}-\text{TiO}_2$ 复合纳米材料的光转化率曲线如图2(c)所示，其中沉积3、5、7次的样品， $\text{AgCl}-\text{TiO}_2$ 异质结复合纳米材料的光电化学转化效率差距不大，但最大光转化率仍然偏小，只有0.60%，这可能与 AgCl 复合物的生长方式以及异质结的界面结构有关。

2.2 $\text{AgBr}-\text{TiO}_2$ 异质结光电化学性能分析

$\text{AgBr}-\text{TiO}_2$ 异质结复合纳米材料的XRD图谱与图1(a)相似，只在 $2\theta=26^\circ$ 附近出现锐钛矿型 TiO_2 晶体(101)晶面特征峰。图1(c, d)是制备 $\text{AgBr}-\text{TiO}_2$ 异质结复合形貌，图中的 TiO_2 纳米管表面没有明显改变，看不到明显的 AgBr 大晶粒，说明 AgBr 沉积过程更加温和，沉积速度相对更慢，与 AgCl 沉积完全不同。

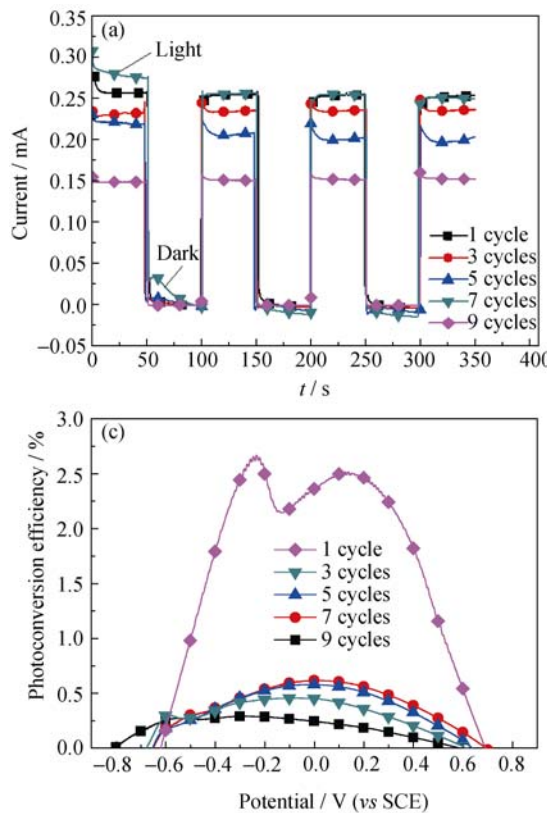
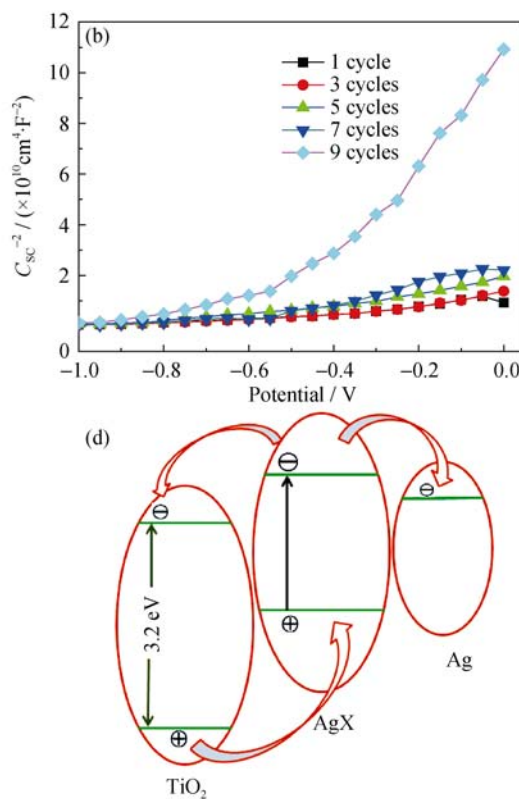


图3 $\text{AgBr}-\text{TiO}_2$ 异质结复合纳米材料I-t曲线(a), Mott-schottky曲线(b),光转化率曲线(c)和能级结构示意图(d)
Fig. 3 I-t (a), Mott-schottky (b), photoconversion rate (c) and energy level structure (d) curves of $\text{AgBr}-\text{TiO}_2$ heterojunction composites

表1 $\text{AgX}-\text{TiO}_2$ 复合纳米材料的光电性质
Table1 Photoelectric properties of $\text{AgX}-\text{TiO}_2$ composite

AgX	Cycles	Photo-voltage / V	Photocurrent / ($\text{mA} \cdot \text{cm}^{-2}$)	Photoconversion rate/%
Blank	0	-0.440	0.260	0.95
AgCl	1	-0.215	0.180	0.51
	3	-0.296	0.251	0.58
	5	-0.287	0.231	0.60
	7	-0.302	0.169	0.58
	9	-0.274	0.148	0.48
	1	-0.186	0.258	2.67
	3	-0.586	0.238	0.46
	5	-0.280	0.215	0.58
	7	-0.222	0.268	0.62
	9	-0.400	0.151	0.29

图3(a)为 $\text{AgBr}-\text{TiO}_2$ 异质结复合纳米材料的I-t曲线，其中沉积1次的样品光电流较大，并且其Mott-Schottky曲线(如图3(b))也表明沉积1次的样品线性部分的斜率最小，说明其载流子密度最大。图3(c)为 $\text{AgBr}-\text{TiO}_2$ 异质结复合纳米材料的光转化率曲线，其中沉积1次的样品光转化率明显高于其他循环次数样品，达到2.67%。随着 AgBr 沉积循环次数的增加， $\text{AgBr}-\text{TiO}_2$ 异质结复合纳米材料的光转化率下降，详见表1。



2.3 异质结作用机理

图3(d)为AgX-TiO₂复合材料的异质结能级结构示意图。AgX-TiO₂复合材料在可见光照射下由于紫外线还原作用^[19-21],使得部分AgX还原为Ag单质沉积于AgX表面,从而形成Ag/AgX-TiO₂结构的异质结^[21-27]。AgCl的导带位置较高,AgCl光照产生的光生电子可以转移到TiO₂的导带或者Ag的费米能级上,光生空穴则转移到TiO₂的价带,从而实现光生电子和空穴之间的有效分离。AgCl的禁带宽度为2.98 eV^[19],比TiO₂的3.2 eV窄,对可见光的吸收能力强。AgBr-TiO₂复合材料的光电转化效率相比未复合的TiO₂阵列膜的大幅度提升,这是因为在AgBr-TiO₂异质结中,AgBr的禁带宽度为2.6 eV^[20-27],比TiO₂更窄,而AgBr的导带位置更高,因而从价带跃迁到导带的电子从AgBr的导带转移至TiO₂的导带,实现光生电子-空穴对的有效分离,降低了载流子复合的几率。但是当AgBr的沉积量较大,沉积超过1次时,AgBr颗粒会将TiO₂纳米管阵列堵塞,使得光线无法照射到TiO₂纳米管内,从而降低样品对光的利用率。

3 结论

1)采用沉积法在TiO₂纳米阵列上复合AgCl、AgBr得到AgX-TiO₂异质结复合纳米材料,其中AgBr-TiO₂异质结复合纳米材料的光电化学性能较好,光转化率达到2.67%;而AgCl-TiO₂异质结复合纳米材料的光转化率仅为0.60%。

2)沉积的AgCl以纳米片状结构堆叠分布,生长很快,而AgBr沉积过程温和,沉积速度较慢,这对AgX-TiO₂异质结复合纳米材料光电化学性能有较大影响。

参考文献:

- [1] LIU Z X, YU Y C, LIU J J, et al. AgBr/TiO₂ heterojunction type composite catalyst preparation and photocatalytic activity of visible light. *Chemical Research*, 2010, **21**(3): 1008-1011.
- [2] FUJISHIMA A, HONDA K. Electrochemical photolysis of water at a semiconductor electrode. *Nature*, 1972, **238**(7): 37-38.
- [3] BOER K W. Survey of Semiconductor Physics. New York: Van Nostrand Reinhold, 1990: 249-253.
- [4] KIMMEL G A, BAER M, PETRIK N G, et al. Polarization and azimuth-resolved infrared spectroscopy of water on TiO₂ (110): anisotropy and the hydrogen-bonding network. *Phys. Chem. Lett.*, 2012, **3**(6): 778-784.
- [5] ZHANG J, ZHANG Y P, YU L Q, et al. Preparation of Ag-modified nano-titanium and their photocatalytic activity. *Rare Metals*, 2011, **30**(1): 267-270.
- [6] YU L Q, WANG Q Q, LIU C G, et al. Magnetically stabilized bed for benzene selective hydrogenation. *Chemical Engineering & Technology*, 2014, **37**(3): 1-7.
- [7] DONG K T, YU L Q, ZHANG Y P, et al. Green synthesis of sulfur/graphene nanocomposite and photocatalytic performance. *Science of Advanced Materials*, 2014, **6**(8): 1828-1835.
- [8] HU C, HU X X, WANG L S, et al. Visible-light-induced photocatalytic degradation of azodyes in aqueous AgI/TiO₂ dispersion. *Environ. Sci. Technol.*, 2006, **40**(24): 7903-7907.
- [9] LAN Y Q, HU C, HU X X, et al. Efficient destruction of pathogenic bacteria with AgBr/TiO₂ under visible light irradiation. *Applied Catalysis B: Environmental*, 2007, **73**(3/4): 354-360.
- [10] MOHAMMAD R E, SARA R, SAEED H, MOHAMMAD R G. Apatite-coated Ag/AgBr/TiO₂ visible light photocatalyst for destruction of bacteria. *J. Am. Chem. Soc.*, 2007, **129**(31): 9552-9553.
- [11] ZANG Y J, FARNOOD R. Photocatalytic activity of AgBr/TiO₂ in water under simulated sunlight irradiation. *Applied Catalysis B: Environmental*, 2008, **79**(4): 334-340.
- [12] WANG F, LIU Y, DONG W, et al. Tuning TiO₂ photoelectrochemical properties by nanoring/nanotube combined structure. *J. Phys. Chem. C*, 2011, **115**(30): 14635-14640.
- [13] TANG J W, DURRANT J R, KLUG D R. Mechanism of photocatalytic water splitting in TiO₂ reaction of water with photoholes, importance of charge carrier dynamics, and evidence for four-hole chemistry. *J. Am. Chem. Soc.*, 2008, **130**(42): 13885-13891.
- [14] YU L Q, ZHANG Y P, ZHI Q Q, et al. Enhanced photoelectrochemical and sensing performance of novel TiO₂ arrays to H₂O₂. *Sensors and Actuator B: Chemical*, 2015, **211**: 111-115.
- [15] YU L Q, ZHI Q Q, ZHANG Y P, et al. Photocatalytic properties of TiO₂ porous network film. *Journal of Nanoscience and Nanotechnology*, 2015, **15**: 6576-6581.
- [16] YU L Q, DONG K T, ZHANG Y P, et al. Tuned n/n or n/p heterojunctions for reduced graphene oxide and titania nanosheets and their electrochemical properties. *Materials Chemistry and Physics*, 2014, **48**(15): 803-809.
- [17] ZHANG Q Q, TANG B. Colloidal silver chloride preparation and photocatalytic antibacterial properties of antibacterial film. *Journal of Nanjing University of Technology*, 2004, **28**(5): 547-551.
- [18] LI G P, LI J, LUO Y J, et al. AgBr nanoclusters: PAMAM dendrimer template was prepared and its photocatalytic performance. *Journal of Inorganic Chemistry*, 2007, **23**(2): 253-257.
- [19] NIU J F, YAO B H, WEI J, et al. Preparation of Ag/AgCl supported TiO₂ plasma photocatalysts and photocatalytic degradation of chloramphenicol Ag/AgCl. *Journal of Xi'an University of Technology*, 2011, **27**(4): 77-81.
- [20] ZANG Y J, RAMIN F. Photocatalytic activity of AgBr/TiO₂ in water under simulated sunlight irradiation. *Appl. Catal. B.*, 2008, **79**(4): 334-340.
- [21] GAO L, ZHNG S, ZHANG Q H. Nano Titanium Oxide Photocatalytic Materials and Applications. Chemical Industry Press, 2003: 31-35.
- [22] ZHANG F, LI Q L, YANG J J. Study of TiO₂ photocatalyst in the visible light. *Chinese Journal of Catalysis*, 1999, **20**(3): 329-332.
- [23] WANG W J, HUANG B B, ZHANG X Y, et al. Highly efficient visible-light plasmonic photo catalysis Ag&AgBr. *Chem. Eur. J.*, 2009, **15**(8): 1821-1824.
- [24] YU L Q, ZHANG Z P, ZHOU X Y, et al. Photoelectrochemical properties of Ag-TiO₂ nanotube arrays. *Journal of China University of Petroleum*, 2015, **39**(3): 183-187.
- [25] KHAN S U M, Al-Shahry M, Ingler Jr W B. Efficient photochemical water splitting by a chemically modified n-TiO₂. *Science*, 2002, **297**(5590): 2243-2245.
- [26] YU L Q, LIU R S, ZHANG Y P, et al. Photoelectrochemical property of Fe-N modified titania nanotube array films. *Journal of Optoelectronics and Advanced Materials*, 2014, **16**(5/6): 519-523.
- [27] JOHN S E, MOHAPATRA S K, MISRA M. Double-wall anodic titania nanotube arrays for water photooxidation. *Langmuir*, 2009, **14**(25): 8240-8247.